

電子學及無線電原理

上 册

北京農業大學

电子学教研組編

1961年7月

目 录

緒論	1
----------	---

第一章 集中参数电路的性质

1.1 引言	3
1.2 单回路的自由振荡	4
1.3 复数计算法及矢量图	10
1.4 单回路的强迫振荡和諧振	13
(1) R.C.L 串联振荡电路	13
(2) R.C.L 并联振荡电路	21
1.5. 耦合电路	23
(1) 原电路和副电路都是无調諧电路	26
(2) 原电路无調諧，但付电路是可以調諧的	27
(3) 原付电路都是可以調諧的	28
甲、固定 X_1 和 M ，改變 X_2 的值使 i_2 达到极大	29
乙、调节 X_1 而不變 X_2 及 M ，使 i_2 达到极大	30
丙、同时调节 X_1 及 X_2 使 i_2 达到极大	30
① 欠足耦合情况	30
② 临界耦合情况	31
③ 足够耦合情况	31

第二章 整流器和整流用电子管

§ 2.1 热电子发射和发射物质	36
§ 2.2 实用发射体的構造	39
§ 2.3 二极管的静态特性曲綫	41
§ 2.4 整流器、滤波器和倍压器	43
(1) 二极管的整流作用	46
(2) 二极管整流器	45
(3) 滤波器	46
(4) 倍压器	51
(5) 三相整流器	52

§ 2.5 充气二极管及其稳定电压和整流作用	53
(1) 气体放电的基本性质	53
(2) 虹光管及其稳压作用	55
(3) 热阴极充气二极管及其整流作用	58
§ 2.6 固体整流器	60
§ 2.7 整流器参考电路	62

第三章 三極管、多極管及其放大作用

§ 3.1 三极管的构造和二分之三次方定律	66
§ 3.2 三极管的静态特性曲线	67
§ 3.3 电子管系数	70
(1) 内电阻 R_i	70
(2) 跨导 S	70
(3) 放大因数 μ	71
(4) μ 、 R_i 和 S 三个参量之间的关系	71
§ 3.4 多极管	72
(1) 四极管	72
(2) 五极管	74
(3) 电子注功率管	77
§ 3.5 电子管静态特性曲线的数学表示法	78
§ 3.6 电子管放大器基本原理及其分类	81
(1) 电子管放大器的放大率	81
(2) 电子管放大器的基本电路	82
(3) 基本电路的分析	83
(4) 电子管放大器的电源	91
(5) 电子管放大器的分类	94
甲、按频率分类	94
乙、按频带宽度分类	95
丙、按用途分类	95
丁、按工作情况分类	96
§ 3.7 电子管放大器的畸变問題	97
(1) 理想电子管放大器的性能	97
(2) 波幅畸變	98
(3) 频率畸變	99
(4) 周相畸變	99
§ 3.8 电子管放大器的等效电路	101

§ 3.9 声频电压放大器	104
(1) 声频电压放大器及其级间耦合	104
(2) 声频电压放大器的等效电路及其简化	106
甲、在低频范围内的等效电路及其简化	106
乙、在中频范围内的等效电路及其简化	107
丙、在高频范围内的等效电路及其简化	107
(3) 阻容耦合放大器电路的分析	107
甲、低声频范围	107
乙、中声频范围	107
丙、高声频范围	109
丁、放大器的频率特性	110
(4) 电路常数对频率响应的影响	113
甲、 R_C 的影响	113
乙、 R_L 的影响	114
丙、 C_C 的影响	114
丁、 C_{eq} 的影响	115
戊、提高板极电源电压	115
(5) 电子管的输入导纳	115
(6) 变压器耦合放大器	118
甲、用自感做板极负载的放大器	118
乙、变压器耦合放大器	119
§ 3.10 宽频带放大器	121
(1) 宽频带放大器的高频补偿	121
(2) 宽频带放大器的低频补偿	125
§ 3.11 直流放大器	126
(1) 框偏压的供给	127
(2) 直流放大器的稳定工作问题	130
(3) 直流放大器的优缺点	131
§ 3.12 甲 ₁ 类声频功率放大器	131
(1) 甲 ₁ 类声频功率放大器的输出功率和效率	131
(2) 功率放大器的阻抗匹配	136
(3) 三极管甲 ₁ 类声频功率放大器	139
甲、三极管甲 ₁ 类声频功率放大器的动态特性曲线和最佳工作情况	139
乙、功率放大器的畸变	142
(4) 五极管甲 ₁ 类声频功率放大器	144
甲、五极管甲 ₁ 类声频功率放大器的优点	144
乙、五极管的动态特性曲线	144
丙、电子管的并联运用	145

丁、功率放大器用电子管	145
§ 3.13推挽式乙类功率放大器.....	146
(1) 推挽式甲类功率放大器的概述	146
(2) 甲类直綫工作的推挽功率放大器	147
(3) 甲类非直綫工作的推挽功率放大器	149
(4) 复合管板极特性曲綫及等效負荷电阻的决定	152
§ 3.14乙类及甲类声頻推挽功率放大器.....	155
(1) 乙类声頻推挽功率放大器的工作情形	155
(2) 乙类声頻推挽功率放大的輸出功率和效率	157
(3) 甲乙类声頻推挽功率放大器的工作情形	159
§ 3.15推挽放大器的栅极激励問題.....	160
(1) 輸入變壓器	160
(2) 倒相器	160
(3) 分相器	162
(4) 自平衡式倒相器	162
§ 3.16放大器的反饋.....	163
(1) 反饋放大器的基本电路	163
(2) 負反饋放大器	164
(3) 阴极输出放大器	166
§ 3.17調諧电压放大器.....	167
§ 3.18調諧功率放大器.....	171

緒論

電子學和無線電技術是近六十年來發展起來的一門學科。由於它在國民經濟中，在國防中有着重大的作用，因此它的发展極為迅速，它已是近代科學技術中的一个强大分枝。

電子學和無線電技術是從無線電通訊的研究開始的，1895年俄羅斯科學家亞·斯·波波夫首先實現了無線電通訊，這一偉大發現就開辟了後來用途極為廣泛的電子學和無線電技術。在這門科學發展的初期，它的主要內容就是研究和發展無線電通訊。此後無線電報、無線電話、無線電傳真以及電視都相繼出現。在這一方面的技術也有很大的發展——使用的頻率範圍越來越寬，通訊的距離越來越遠。目前無線電通訊和無線電廣播已經成為人們生活中不可缺少的事物。

然而目前電子學和無線電技術的發展已絕不限於用在無線電通訊中，而有著極為廣泛的應用。無線電定向，測位與導航，在運輸、軍事和氣象部門都獲得了極為廣泛的應用。無線電望遠鏡就不僅應用於軍事，而且應用於天文學和其他科學研究中。

除了利用電磁波進行遠距離的信息傳遞外，電子學和無線電技術還極其廣泛的用於測量和控制技術中。在這方面的工作已不是利用電磁波的輻射，因此嚴格說來已和“無線電技術”沒有多大關係，比較適當的名稱是把這些設備叫做“電子設備”。但由於習慣上的原因，有人仍把它們叫做“無線電儀器”。電子設備在自動控制和遠距離控制中獲得了非常廣泛的應用。各種機床生產的程序控制，保護裝置中都應用著它們。在遙測遙控和遠距離通信方面最光輝的成就集中的表現在宇宙交通工具上，蘇聯發射的各種人造衛星，宇宙飛船和載人宇宙飛船上都實現了極為複雜的自動和遠程控制以及遠距離的電報電話和電視通訊。在這些設備中都運用了大量的最進的電子設備。自動和遠程控制方面的成就應用於農業生產和科學研究中的工作也已經開始，這方面的工作必將獲得輝煌的成就。

在測量儀器方面，電子學設備也有其獨特的優越性。快速、消耗能量少而不影響被測量物的狀況，以及對非電過程的模擬和顯示就是它的最大優點。在測量方面運用電子設備的趨勢日益增加，其數量之大和品種之繁已經不可能在短短的篇幅中敘述其梗概。我們只列舉在生物學研究中見到的部分儀器來表明這一情況。例如在利用同位素示踪的工作中，電離輻射的計數設備就几乎是不可缺少的儀器。至於電導儀、pH計、分光光度計，電泳設備等都是在生物化學研究中常用的設備。電子顯微鏡是觀察極為微小的生物結構的有力工具。腦電和心電的顯示是研究生理的有力工具。凡此種種都應用著電子設備。

在農業物理中對於溫度、濕度、光、氣壓和風速等的測量中，電子儀器的快速、不破壞自然狀況以及便於遙測更有它的獨到之處。

本課程中只能就若干常見的儀器作簡略的說明，在農業生物物理專業的課程中另有專門

的“生物物理电子儀器”的課程。

电子設備不僅用于控制和測量，也直接用于生产。例如在工业中应用的强大整流系統、高頻治練和热处理設備都利用了电子装置。在农业中用超声和高頻电流等对作物及农产品进行处理也都应用着为數众多的电子設備。

近年来电子學上极为重大的成就是电子計算機的出現，它不僅能运算，还可以用于推理、記憶甚至估計局势、进行翻譯。电子計算機出現的重大意义是在于可以利用機器来代替部分的脑力劳动。

电子學和无线电技术是在基本的电磁學理論、电子管的发明創造、數學和物理等學科的基础上以及国民經濟的需要下发展起来的。學習电子學和无线电技术应当注意學習电磁學的基本理論和善于将數學灵活的运用在电子學中，应当注意电子管內所发生的基本过程工作状态，特別是应当弄清楚各种設備的基本工作原理。应当明确各种电子設備在农业生产和科學研究中的作用以及将这些新技术应用于农业生产和科學研究中的可能性。

电子學和无线电技术是一門新兴的富有生命力的科學技术。但是在旧中国，我国在这一技术上是十分落后的，不能制造大型设备，甚至連收音機这样简单的产品也是大量从国外进口，任人剥削。电子學设备的元件多半不能制造，特別是其中的重要部件“电子管”更是不能制造。只有在祖国解放以后，祖国人民的智慧才得到了發揮，人民的辛勤的劳动才获得了丰硕的成果。目前我国已有規模宏大的电子管厂不只一处，大型无线电器材厂也不只一家。无线电和电子學设备的生产不論在數量上和品質上都大为提高。国产无线电收音機已遍及城乡數以百万計，北京、上海、广州和哈尔滨等許多城市还建立了电视台。除此而外其它要求技术水平很高的产品也相繼出現，我国各省市的許多大型广播和电视发射台以及大型电子計算機等就是我国自行設計和建造的。在农业生产和科學研究中使用的电子儀器和设备也日益繁多，特别是在农业生物物理专业，几乎各实验室中都运用着电子儀器。不僅如此，解放以后还建立了許多研究电子學和无线电的科學研究機構和培养人材的學校。現在我国的电子學和无线电工作者的队伍日益壮大，科學水平和生产技术水平日益提高，产品的數量日益扩大，使这一事业日益昌盛，并且在国民經濟中起着越来越大的作用。

· 党和政府为电子學及其它各种事业創造了良好的条件，应当努力的在正确的思想指导下，學好这一科學技术使其为农业生产和农业科學研究服务。

第一章 集中參數电路的性質

§ 1.1 引 言

在电子學和无线电电路中經常遇到的不是穩定电流，而是變化着的电流，因而組成电路的元件除了电阻以外还有电抗性元件电容和电感；而决定电路中电流强度的除了电路阻抗和电源电动势的大小而外，电动势的變化情况（例如頻率和波形）也起着很大的作用。

通常我們总假定电路是由一些集中表現阻抗的元件和电源所組成的，即阻抗集中的表現在这些元件上，元件之外則只有两种东西，或者是阻抗为零的連接各元件的导綫，或者是阻抗无限大的使各元件分离开来的絕緣体。而各个元件之間、或者每一个元件各部分之間也都不存在任何导电的阻抗。这样的电路叫作集中參數电路。然而一切实际的电路严格說来都不能算是集中參數的电路。以电阻为例，电路中的电阻通常都是集中表現在用金属电阻綫或炭質制成的电阻器上，但是連接电阻器的导綫严格說来也有一定的电阻（通常很小），也就是说电阻并不僅只表現在电阻器上而是分布在整个电路中，同时电阻器和电阻器附近的一些导綫或金属板之間（这些东西在电子装置中是常有的）还存在着一定的电容，由此可見电阻器在实际上并不能看成是一个純电阻而是和一定的分布电容联系着的。其次再以用导綫繞制的自感綫圈为例，一方面自感綫圈和其他元件連接的导綫就有自感，因而綫路的感抗也并不只是綫圈的感抗，它还包括分布在整个电路中的感抗。另一方面繞制自感綫圈的导綫不可避免的有着一定的电阻，而綫圈各圈和各层間还形成了电容，因而一个自感綫圈也不能看成是一个純电感，而是和一定的电阻和分布电容相联系的。最后以容电器为例。一方面連接容电器的导体是具有电阻、分布电容和自感量的，因而存在着分布阻抗，另一方面組成容电器本身的导体也有电阻和自感，特別是容电器中使两片金属絕緣的絕緣体也有一定的（虽然是极其微弱的）导电性，因而应当認為分布在电容器整个两金属片間处处有着导电性微弱的漏电电阻，由此可見严格說来电容器也不能看作是一个純容抗，而是和一定的分布电感和分布电阻相連系的。綜上所述，一切实际的电路严格說来都不是集中參數的电路，而是具有分布參數的电路。电路中分布阻抗的作用在电流頻率越高时表現得影响越大。

然而，在对实际电路进行分析时，仍常把它們看成是集中參數的电路，其所以如此，一方面在于对于集中參數的电路进行分析远比对分布參數的电路容易得多；另一方面作为初步的近似把实际电路看成是集中參數的电路，能够清楚的反应出电路的基本性質和各元件的作用。譬如，在頻率不高的情况下可以把分布阻抗設想成一些附加在电路中的集中的阻抗。只有在分布阻抗的大小和集中的阻抗可以相比或电流頻率很高的情况下，例如高頻电波在长綫上的傳播，才采用分布參數电路的分析方法。因此，作为討論电路性質的开始，本書的第

一章将只对集中参数电路的性质加以讨论。

此外，我们还假定组成电路的元件是具有线性特性的元件，即元件内的电流和电压是用线性方程（一次方程）联系着的。这样的元件叫做线性元件，由线性元件所组成的电路叫做线性电路。因此，本章要讨论的就是具有集中参数的线性电路。通常实际的元件严格说来也都并非是线性元件，但是只要电压和电流保持在一定的范围内，许多的元件都可被看成是线性元件。以电阻为例当电流甚大时电阻即因发热而温度上升，而温度上升又将引起电阻阻值的变化，由此可见，电流的大小将影响电阻的阻值，因此电阻中的电流和电压将不是线性关系。然而只要电流不大，电阻不致因发热而形成显著的升温则电阻的数值相当恒定而电压和电流间的关系是极近于线性的。

§ 1.2 单回路的自由振荡

把电容量为C的电容器，自感量为L的自感线圈和阻值为R的电阻连接起来如图1—1，谓之单回路。假定把这回路的电容器充电到一定的电压V₀，然后再令它通过单回路放电，则在放电过程中的任何时刻，电路中的电流i都应满足下列方程式：

$$L \frac{di}{dt} + iR = V \quad (1.1)$$

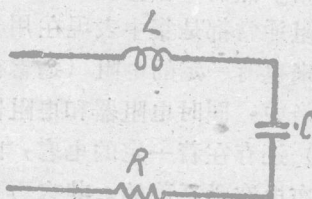


图 1—1 单回路

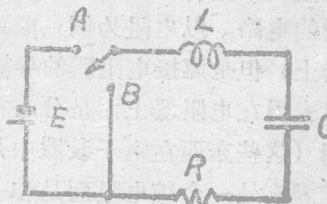


图 1—2 单回路的充放电

式中 t 表示时刻，V 表示在时刻 t 时电容器两端的电位差。电路的充放电过程可以假定是借图 1—2 的电路来完成的，先将开关 K 扳向 A 点使电路和电池 E 接通使电容器充电至电压 V₀，然后把 K 扳向 B 这一边，于是电容器就通过单回路放电。

由于电容器两端的电位差 V 和积累在电容器极板上的电荷 q 成比例，即：

$$q = CV \quad (1.2)$$

而电流 i 和 q 又有如下的关系

$$i = -\frac{dq}{dt} \quad (1.3)$$

注意式中负号表明电流 i 是由电容器放电（即 q 的减少）而产生的，电流 i 的正方向是使 q 减少的方向。

由公式 (1.1)，(1.2) 和 (1.3) 可以得到

$$L \frac{di}{dt} + iR + \frac{1}{C} \int idt = 0 \quad (1.4)$$

将式 (1.4) 对 t 取导数，并除以 L 得

$$\frac{d^2i}{dt^2} + \frac{R}{L} \frac{di}{dt} + \frac{1}{LC} i = 0 \quad (1.5)$$

令

$$\frac{R}{2L} = \alpha, \quad \frac{1}{LC} = \omega_0^2 \quad (1.6)$$

则式 (1.5) 可写成

$$\frac{d^2i}{dt^2} + 2\alpha \frac{di}{dt} + \omega_0^2 i = 0 \quad (1.7)$$

方程 (1.7) 是常系数二阶常微分方程，它的解的形式是

$$i = A_1 e^{k_1 t} + A_2 e^{k_2 t} \quad (1.8)$$

式中 A_1 和 A_2 为积分常数，而 k_1 和 k_2 为特征方程

$$k^2 + 2\alpha k + \omega_0^2 = 0 \quad (1.9)$$

的两个根。

$$k_1 = -\alpha + \sqrt{\alpha^2 - \omega_0^2} = -\frac{R}{2L} + \sqrt{\frac{R^2}{4L^2} - \frac{1}{LC}} \quad (1.10)$$

$$k_2 = -\alpha - \sqrt{\alpha^2 - \omega_0^2} = -\frac{R}{2L} - \sqrt{\frac{R^2}{4L^2} - \frac{1}{LC}} \quad (1.11)$$

至于积分常数 A_1 和 A_2 则可由开始条件求得。假定令开关 K 扳向 B 而使放电电路接通的一刹那 $t=0$ ，则可知在 $t=0$ 时， $V=V_0$ 和 $i=0$ ，将此条件代入 (1.8) 式可知

$$A_1 + A_2 = 0 \quad (1.12)$$

$$\text{同时 } q = \int idt = \frac{A_1}{k_1} e^{-k_1 t} + \frac{A_2}{k_2} e^{-k_2 t} + A_3 \quad (1.13)$$

因为在 $t \rightarrow \infty$ 时， $q \rightarrow 0$ ，由 k_1 和 k_2 的值可知，在 $t \rightarrow \infty$ 时 (1.13) 式中右边的前两项为零，因此可以判定

$$A_3 = 0 \quad (1.14)$$

而在 $t=0$ 时又有 $q=q_0$ ， $V=V_0$ ，故在 $t=0$ 时 (1.13) 式变为

$$q_0 = \frac{A_1}{k_1} + \frac{A_2}{k_2} \quad (1.15)$$

解联立方程 (1.12) 和 (1.15)，得到 A_1 和 A_2 的值如下：

$$A_1 = q_0 \frac{k_1 \cdot k_2}{k_2 - k_1}, \quad A_2 = -q_0 \frac{k_1 \cdot k_2}{k_2 - k_1} \quad (1.16)$$

$$\text{令 } \sqrt{\alpha^2 - \omega_0^2} = \beta \quad (1.17)$$

$$\text{则 } k_1 = -\alpha + \beta, \quad k_2 = -\alpha - \beta \quad (1.18)$$

而 $k_2 - k_1 = -2\beta$ $k_1 k_2 = \omega_0^2 = \frac{1}{LC}$ (1.19)

于是得 $A_1 = q_0 \frac{\frac{1}{LC}}{-2\beta} = \frac{-q_0}{2\beta LC} = \frac{-V_0}{2\beta L}$ (1.20)

$$A_2 = \frac{V_0}{2\beta L}$$
 (1.23)

于是方程式的全解 (1.8) 式可以写成 (1.4)

$$i = \frac{-V_0}{2\beta L} e^{k_1 t} + \frac{V_0}{2\beta L} e^{k_2 t} = \frac{-V_0}{2\beta L} (e^{k_1 t} - e^{k_2 t})$$
 (1.22)

把式 (1.18) 代入上式得到

$$i = \frac{-V_0}{2\beta L} \cdot e^{-\alpha t} \cdot (e^{\beta t} - e^{-\beta t})$$
 (1.23)

式中负号的物理意义，表示放电电流的方向正好与充电时相反。

这一方程代表着单回路放电过程中的电流随时间变化的情况。由方程 (1.23) 可以看出电流变化的情况随 β 的为实数、零或虚数而分为三种不同的类型。而 β 为实数或为零或为虚数是与 $\alpha^2 = \omega_0^2$ 相应的。由公式 (1.6) 和 (1.17) 可知若

$$R > 2 \sqrt{\frac{L}{C}}$$
 (1.24)

则 β 为实数，若

$$R = 2 \sqrt{\frac{L}{C}}$$
 (1.25)

则 β 为零，若

$$R < 2 \sqrt{\frac{L}{C}}$$
 (1.26)

则 β 为虚数。首先讨论 β 为实数的情况。此时公式 (1.23) 可写成

$$i = \frac{-V_0}{\beta L} e^{-\alpha t} \frac{(e^{\beta t} - e^{-\beta t})}{2} = \frac{-V_0}{\beta L} e^{-\alpha t} \operatorname{Sh} \beta t$$
 (1.27)

在这种情形下，电流随时间的变化是非振荡性的（即电流方向始终不变）。若令电容器充电时电流方向为正，则放电电流方向为负，电流和时间的关系曲线如图 1—3 所示。

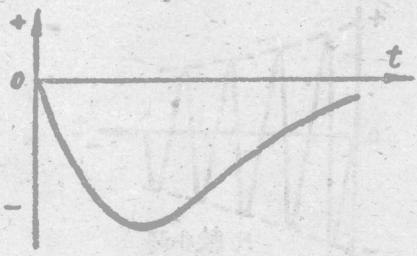


图 1-3 β 为实数时单回路中的电流



图 1-4 $\beta = 0$ 时单回路中的电流

其次若 $\beta = 0$ ，则方程式 (1.23) 变为 $\frac{0}{0}$ 的未定式，应用劳必达法则求得

$$i = \frac{-V_o}{L} te^{-\alpha t} \quad (1.28)$$

这时放电也是非振荡性的。最后在 β 为虚数时，令

$$\sqrt{\alpha^2 - \omega_0^2} = j \sqrt{\omega_0^2 - \alpha^2}$$

式中 $j = \sqrt{-1}$ ，而由于 $\alpha^2 - \omega_0^2 < 0$ ，所以 $\omega_0^2 - \alpha^2 > 0$ ，

故令

$$\omega_1 = \sqrt{\omega_0^2 - \alpha^2} \quad (1.30)$$

则 ω_1 为一实数，公式 (1.23) 变成

$$i = \frac{V_o}{2\beta L} e^{-\alpha t} (e^{\beta t} - e^{-\beta t}) = \frac{V_o}{\omega_1 L} e^{-\alpha t} \left(\frac{e^{j\omega_1 t} - e^{-j\omega_1 t}}{2j} \right) \quad (1.31)$$

括号中的式子是一正弦函数。所以

$$i = \frac{V_o}{\omega_1 L} e^{-\alpha t} \left(\frac{e^{j\omega_1 t} - e^{-j\omega_1 t}}{2j} \right) = \frac{V_o}{\omega_1 L} e^{-\alpha t} \sin \omega_1 t \quad (1.32)$$

方程式 (1.32) 显示了这时回路的放电表现为振幅按指数衰减的交变电流。这一情形可以图 1-5 表现出来。

图中的实线是电流随时间变化的情况。虚线是一指教曲线，由图可见交变电流的振幅是按指教率衰减的，这样的放电过程谓之阻尼振荡。应当说明，阻尼振荡并不是一个周期过程，因为电流并非周期性重复的。但是由方程式 (1.32) 或图 1-5 中可以看出电流确是每经过一定的时间间隔就到达零一次，把这时间间隔的二倍叫作准周期，即

$$\omega_1 t = n\pi \quad n = 1, 2, 3, \dots \quad (1.33)$$

$$\text{或} \quad t = \frac{n\pi}{\omega_1}, \quad n = 1, 2, 3, \dots \quad (1.34)$$

时电流强度为零。由公式 (1.34) 不难求出阻尼振荡的准周期 T ，

$$T = \frac{2\pi}{\omega_1} = \frac{2\pi}{\sqrt{\omega_0^2 - \alpha^2}} \quad (1.35)$$

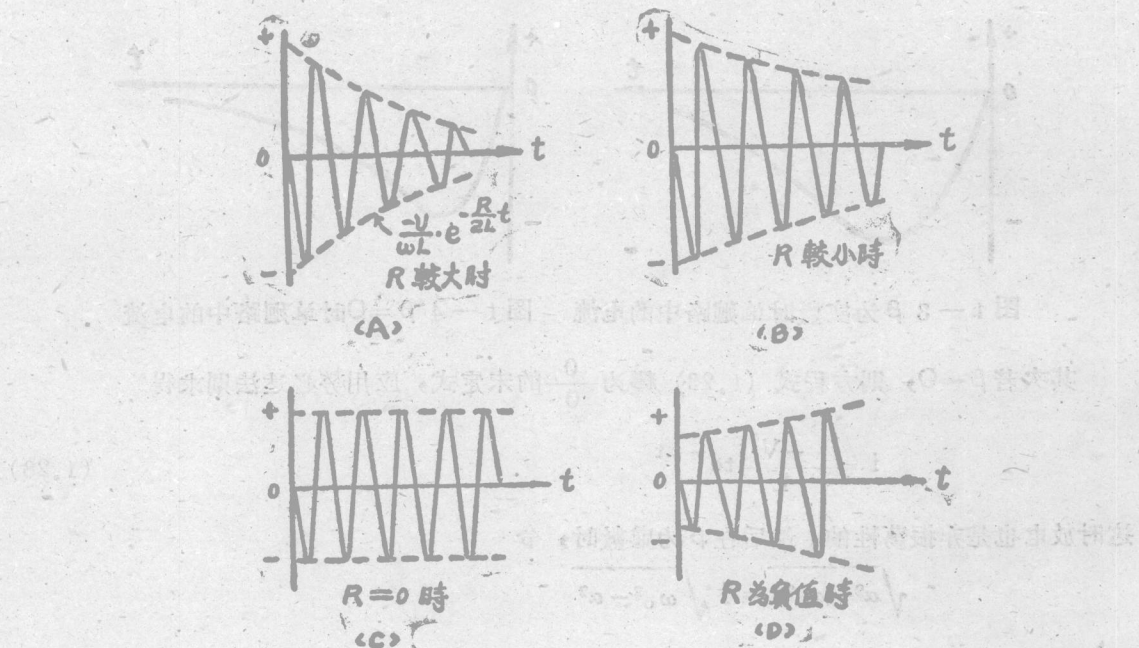


图 1—5 单迴路中的电流

在实际运用中 R 的值一般說來相當小，事實是圖 1—1 或 1—2 中的 R 是代表著不可避免的繞制自感線圈和連接各元件的導線的電阻而並不另外再加電阻，這些電阻是盡量設法作得很小的。因此有時可以認為

$$\frac{R^2}{4L^2} \ll \frac{1}{LC} \quad (1.36)$$

或

$$\alpha^2 \ll \omega_0^2 \quad (1.37)$$

而近似地取

$$\text{圖 1-5} \quad \omega_1 \approx \omega_0, \quad T \approx 2\pi\sqrt{LC} \quad (1.38)$$

從方程式 (1.32) 中還可以看到阻尼振盪是隨時間按指數率衰減的，而衰減的快慢則和指數 $-at$ 中的 a 有關。 a 的值越大振幅衰減越快，因此通常將 a 叫作衰減因數。電流衰減的情形可以通過每隔一個準周期電流變小幾倍而清楚的顯示出來。假定在某一時刻 t_1 電流強度為 i_1 ，經過一個準周期後 t 變為 t_1+T ，而假定此時電流為 i_2 ，則

$$i_1 = \frac{-V_o}{\omega_1 L} e^{-at_1} \sin \omega_1 t_1 \quad (1.39)$$

$$i_2 = \frac{-V_o}{\omega_1 L} e^{-a(t_1+T)} \sin \omega_1 (t_1+T) \quad (1.40)$$

$$\text{而} \quad \frac{i_2}{i_1} = \frac{e^{-a(t_1+T)}}{e^{-at_1}} = e^{-aT} = \frac{\pi \xi}{2\omega} = T \quad (1.41)$$

由此可见每经过一个准周期，电流都变小同样多的倍数，这倍数是与 t 无关的常数。从公式 (1.41) 可知：

$$\ln \frac{i_1}{i_2} = \ln i_1 - \ln i_2 = \alpha T = D \quad (1.42)$$

式中 D 的值叫作对数衰减量。将 α 的值和式 (1.38) 代入 (1.42)

$$D = \alpha T = \frac{R}{2L} \cdot 2\pi \sqrt{LC} = \pi R \sqrt{\frac{C}{L}} \quad (1.43)$$

令 $\sqrt{\frac{L}{C}} = \rho$ 则 $D = \pi \frac{R}{\rho}$ (1.45)

则 $D = \pi \frac{R}{\rho}$ (1.46)

ρ 叫作迴路的特性阻抗。

取衰减因数 α 的倒数为 τ ， τ 叫作迴路的时间常数。时间常数也能说明振幅的衰减速度。

$$\tau = \frac{1}{\alpha}$$

假定在时刻 t_1 时迴路的电流强度为 i_1 ，再经过一时间 t 后迴路的电流强度为 i_2 ，则由公式 (1.32) 可知

$$\begin{aligned} \frac{i_1}{i_2} &= \frac{-V_o / \omega_1 L e^{-\alpha t_1} \sin \omega_1 t_1}{-V_o / \omega_1 L e^{-\alpha(t_1+t)} \sin \omega_1(t_1+t)} = e^{-\frac{\alpha t}{\tau}} \frac{\sin(\omega_1 t_1)}{\sin \omega_1(t_1+t)} \\ &= e^{-\frac{t}{\tau}} \frac{\sin \omega_1 t_1}{\sin \omega_1(t_1+t)} \end{aligned} \quad (1.48)$$

由公式 (1.48) 可知就振幅而言每经过一时间间隔 τ ，振幅即衰减为 $1/e$ 。

在这一节的最后我们来把三种放电的情况加以比较。首先应当注意到三种情况下在时间 t 相当大时电流强度都有衰减至零的趋势。其所以如此是因为迴路中接有电阻，在这电阻上产生的焦耳热消耗了容电器放电时的电能所致，在 k_1 和 k_2 为复数时，迴路中出现阻尼振荡，这是因为迴路中的电阻不大，焦耳热所消耗的电能不多，因而容电器放电时形成的电流将电能大部分以磁场能的形式储在自感线圈所形成的磁场中。当容电器放电完毕时（即容电器两极板的电荷为零），由于自感电动势的存在，电流并不立即停止而仍按原方向进行，遂使容电器原来带正电荷的极板开始改带负电荷，而原来带负电荷的极板改带正电荷，直到磁场能完全消失为止。这时电流强度为零，但容电器的两板上却已积累了一定数量的和原来符号相反的电荷，于是容电器按相反的方向开始放电，而自感线圈中则出现和原来方向相反的磁场并开始积累磁能。这就形成了迴路中的振荡性电流。在振荡过程中不论电流向什么方向，迴路中电阻 R 上总是不断产生焦耳热而消耗着电能，因而电流的振幅必然渐渐的减小。

在 R 的阻值較大，大到

$$\frac{R}{2} > \sqrt{\frac{L}{C}} \quad \text{即} \quad \alpha^2 > \omega_0^2 \quad (1.49)$$

时， k_1 和 k_2 成为实数，这时放电成为非振荡性的。其所以如此是由于 R 增大时，在 R 上所消耗的焦耳热较多，当 R 增至能满足式 (1.49) 的数值时，电能消耗是如此之大，以致于容电器在一次放电中即将其所储存的全部电能耗尽，而且这电能中的一部分虽曾转化为磁场能的形式，但电阻 R 将磁能在放电过程中也耗尽了而不使容电器按与原来相反的方向充电，因而电流是非振荡性的。

图 1—5 (A) 中所显示的就是振荡性放电过程中电流的衰减情形。至于在图 1—5 的 (C) 和 (D) 中是一种极为特殊的情况，在这种情况下，回路中的电阻被假定为零或甚至于负值，这时振荡性的电流变为等幅的 (在 $R=0$ 时)，或增幅的 (在 R 为负值时)。这些情况我们在讨论振荡器时将会遇到。

也可以顺便提一下，这一节所使用的方法和方程 (1.5) 也适用于单回路的充电 [即将图 (1—2) 中的 K 板向 A 时的情形]。只是回路充电时的开始条件和放电时的情况不同而已。

§ 1.3 复数计算法及矢量图

为了简化交流电路的计算，引入了复数计算法。这种计算法使许多交流电路的计算化为纯粹代数的演算，因而这种方法获得了广泛的应用。为此我们在讨论单回路中的交变电流之前介绍一下这种方法是恰当的。

为了区别复数与实数，我们以后在表示复数时符号上加一点例如 \dot{X} , \dot{V} , \dot{i} 等，众所周知复数

$$\dot{X} = a + jb \quad (1.50)$$

式中 $j = \sqrt{-1}$ ，或者表示成

$$\dot{X} = X (\cos\theta + j\sin\theta) \quad (1.51)$$

$$\text{只要 } X = \sqrt{a^2 + b^2} \quad \tan\theta = \frac{b}{a} \quad (1.52)$$

X 叫作复量 \dot{X} 的模数，有时可以用符号 $|\dot{X}|$ 或 X_m 表示之，而 θ 则叫作幅角。

$$\dot{X} = |\dot{X}| = X_m \quad (1.53)$$

根据已知的欧拉定理。

$$e^{j\theta} = \cos\theta + j\sin\theta$$

所以式 (1.51) 可写成

$$\dot{X} = X e^{j\theta} \quad (1.55)$$

由此可见，若求两复数 \dot{Y} 和 \dot{Z} 的乘积 \dot{X} ，求法颇为简便。

$$\dot{X} = \dot{Y} \dot{Z} = |\dot{Y}| |\dot{Z}| e^{j(\theta_y + \theta_z)} = |\dot{Y} \dot{Z}| e^{j(\theta_y + \theta_z)} \quad (1.56)$$

式中 $|y|$ 和 $|z|$ 分別表示 y 和 z 的模數，而 θ_y 和 θ_z 則分別為 y 和 z 的幅角。由公式(1.56)可以看

$$|\dot{x}| = |y||z| \quad (1.57)$$

由公式(1.56)還可以看到，若以一實數 A 乘 \dot{x} 則只能 A 倍其模量而不会改變其幅角，因为

$$A = Ae^{j\phi}$$

$$\therefore A\dot{x} = A|\dot{x}|e^{j(\theta+\phi)} = A|\dot{x}|e^{j\theta} \quad (1.59)$$

同时若以模數為的複量（即所謂單位複量）乘複量 \dot{x} ，則其模數不變而僅使幅角改變，例如令 u 表示一單位模量的複量，其幅角為 φ ，

$$\text{則 } u = e^{j\varphi\Phi} = e^{j\varphi\Phi} \quad (1.60)$$

$$\text{而 } u\dot{x} = e^{j\varphi}|\dot{x}|e^{j\theta} = |\dot{x}|e^{j(\theta+\varphi)} \quad (1.61)$$

最后若複量 \dot{x} 的幅角為一自變量 t 的線性函數，即

$$\theta = \omega t + \theta_0 \quad (1.62)$$

而其模量為一常數時則複量 \dot{x} 的微分和積分也變得甚為簡便，例如

$$\frac{d\dot{x}}{dt} = \frac{d|\dot{x}|e^{j\theta}}{dt} = \frac{d|\dot{x}|e^{j(\omega t + \theta_0)}}{dt} = j\omega|\dot{x}|e^{j(\omega t + \theta_0)}$$

$$= j\omega\dot{x} = \omega|\dot{x}|e^{j(\omega t + \theta_0 + \pi/2)} \quad (1.63)$$

由此可見 \dot{x} 對於 t 的導數相當於以 $j\omega$ 乘 \dot{x} 或者說等於用 ω 乘 \dot{x} 的模數并使其幅角增加 $\pi/2$ 。積分手讀亦頗為簡便。

$$\begin{aligned} \int \dot{x} dt &= \frac{1}{j\omega} \int |\dot{x}|e^{j(\omega t + \theta_0)} dj\omega t \\ &= -\frac{j}{\omega} |\dot{x}|e^{j(\omega t + \theta_0)} = -\frac{j}{\omega} |\dot{x}| = -\frac{1}{\omega} |\dot{x}|e^{j(\omega t + \theta_0 - \pi/2)} \end{aligned} \quad (1.64)$$

由此可見 \dot{x} 的積分相當於以 $(-\frac{j}{\omega})$ 乘 \dot{x} ，或者說使 \dot{x} 的模數被 ω 除而使其幅角減小 $\pi/2$ 。（參看圖 1—6）

在交流電路中一典型的交流電壓 V 隨時間 t 的變化可表示成

$$V = V_m \sin(\omega t + \theta_0) \quad (1.65)$$

式中 $(\omega t + \theta_0)$ 叫作相角， θ_0 叫作初相角， ω 叫作角速度或角頻率，它和頻率 f 的關係為

$$\omega = 2\pi f \quad (1.66)$$

而電流 i 則通常為

$$i = i_m \sin(\omega t + \theta_0 + \phi) \quad (1.67)$$

ϕ 叫作 V 和 i 之間的相角差， V_m 和 i_m 分別為電壓和電流的峯值，它們多為一常數。

由圖 1—7 和公式(1.65)可以看出電壓 V 可以以一旋轉矢量 \vec{V} 在 Y 軸上的投影來表

示， \vec{V} 的长度为 V_m ，它的旋转角速度是 ω ，旋转的正方向是逆时针方向，它在 $t=0$ 时和X轴所成的角度为 θ_0 。

图1—8表示与在同一张图上表示 V 和 i 的情形。在某一时刻 t ，旋转矢量 \vec{V} 和 \vec{i} 与XY座标系的关系即如图中所示。由于 \vec{V} 和 \vec{i} 的角速度 ω 相同（交流电路中常是这种情况），因而在旋转过程中相角差 ϕ （即二矢量间的夹角）始终不变。

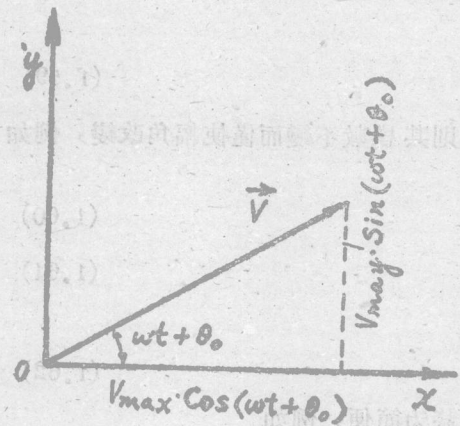


图1—7 矢量图

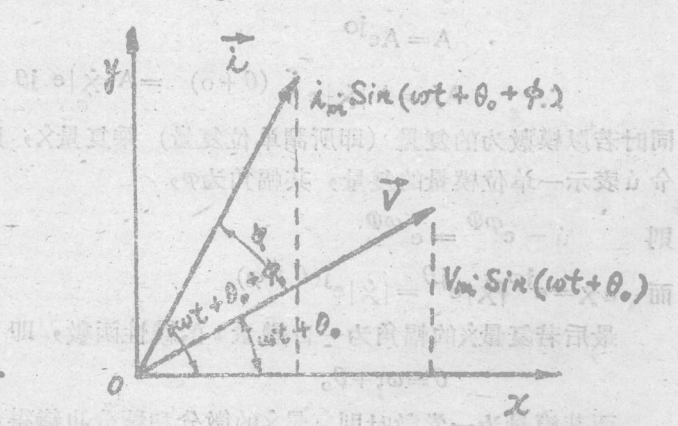


图1—8 矢量和的关系

为了便于想象，也可以假定相对于纸面矢量 \vec{V} 和 \vec{i} 是不动的，而整个座标系以角速度 ω 沿顺时针方向旋转。这时在图面上矢量 \vec{V} 和 \vec{i} 将是静止的，而只有座标轴在旋转。然而此时这图仍代表在时刻 t 座标轴和矢量 \vec{V} 与 \vec{i} 的相对位置， \vec{V} 和 \vec{i} 在Y轴上的投影仍分别表示电压和电流的瞬时值。这样的图仍叫作旋转矢量图，而 \vec{V} 和 \vec{i} 仍被叫作旋转矢量。

将图1—7或1—8的座标系的X轴改为实数轴，而Y轴表示虚数轴，则矢量 \vec{V} 可以表示为

$$\begin{aligned}\vec{V} &= V_m \cos(\omega t + \theta_0) + j V_m \sin(\omega t + \theta_0) \\ &= V_m e^{j(\omega t + \theta_0)}\end{aligned}\quad (1.68)$$

由此可见矢量 \vec{V} 和一复数场中的复量 \dot{V} 相当，只要 \dot{V} 的模量等于矢量 \vec{V} 的 V_m 的大小，而其幅角等于矢量 \vec{V} 和X轴的夹角就行。在有关交流电的运算中就常用复量 \dot{V} 来代替矢量 \vec{V} 进行运算，运算完毕后再取复量的虚数部分（或实数部分）作为结果。至于是取虚数部分还是取实数部分则应在事先确定。例如相应于公式（1.65）所表示的电压就应当取电压复量 \dot{V} 的虚数部分来表示真正的电压〔参阅公式（1.68）〕。

例如以公式（1.67）所表示的电流为例，代表电流的复量 \dot{i} 可以写成

$$\dot{i} = i_m e^{j(\omega t + \theta_0 + \varphi)} \quad (1.69)$$

\dot{i} 的虚数部分正是公式（1.67）中的 i 的表示式，不仅如此，这电流对时间的导数 $\frac{di}{dt}$ 也可

以用 $\frac{d\dot{i}}{dt}$ 的虚数部分表示即